

Исследования параметров и характеристик SiC-диодов Шоттки

в гибридных IGBT-модулях
ОАО «Электровыпрямитель»

Представлены результаты исследований параметров и характеристик карбидокремниевых диодов Шоттки на напряжение 1200 В, используемых в гибридных IGBT-модулях в качестве оппозитных диодов (freewheeling diode — FWD), а также в линейке высокочастотных SiC-диодных модулей.

Алексей Бормотов
Татьяна Шапелько
Михаил Тогаев
Вячеслав Мускатиньев

nicpp@elvpr.ru

Введение

Расширение областей применения приборов силовой электроники и возрастающие требования к их эксплуатационным характеристикам привели к появлению новых широкозонных полупроводниковых материалов, в первую очередь карбида кремния. Новые полупроводниковые приборы на основе SiC позволяют:

- расширить диапазон рабочих частот;
- увеличить диапазон эксплуатационных температур;
- снизить статические и динамические потери;
- повысить стойкость к аварийным режимам работы;
- увеличить надежность и срок службы изделий;
- снизить массу оборудования.

Широкому распространению карбидокремниевых полупроводниковых приборов в силовой электронике по-прежнему препятствует их высокая цена. Однако стоит отметить, что некоторые задачи можно успешно решить с помощью комбинированных схем, в которые входят как SiC-компоненты, так и традиционные кремниевые приборы. К ним относится разработка источников питания и преобразователей на основе ШИМ, имеющих частоты коммутации около 50 кГц. Для этих устройств ОАО «Электровыпрямитель» производит серию гибридных IGBT-модулей на ток до 300 А и напряжение до 1200 В. В данных модулях применяют кремниевые кристаллы IGBT и карбидокремниевые диоды Шоттки в качестве диодов обратного тока.

Диоды Шоттки имеют практически нулевой заряд обратного восстановления, что существенно снижает энергию потерь как при обратном восстановлении диода, так и при включении IGBT, на ток включения которого накладывается импульс тока обратного восстановления диода. Кроме того, при использовании оппозитных диодов с *p-n*-переходом скорость включения IGBT не должна превышать определенное значение, поскольку при этом в диоде начинает проявляться так называемый эффект «схлопывания» заряда обратного восстановления и возникают колебания тока. Эти колебания приводят не только к дополнительным потерям мощности, но и порой к выходу из строя как диода, так и IGBT. Чтобы предотвратить развитие подобных процессов, скорость включения IGBT регулируется резистором в цепи затвора R_{Gon} . Если IGBT-модуль использован вместе с SiC-диодами Шоттки, то он может коммутировать ток с максимально допустимым di/dt , т. е. с со-противлением затворного резистора R_{Gon} близким к нулю [1].

При выключении транзистора влияние диодов минимально, а перенапряжения, возникающие при быстром спаде тока коллектора, обусловлены только свойствами самого транзистора [2].

Разработчикам и производителям FRD приходится постоянно решать задачи оптимизации характеристик оппозитных диодов, чтобы потребитель мог максимально использовать возможности IGBT. Применение SiC-диодов Шоттки в качестве оппозитных для IGBT

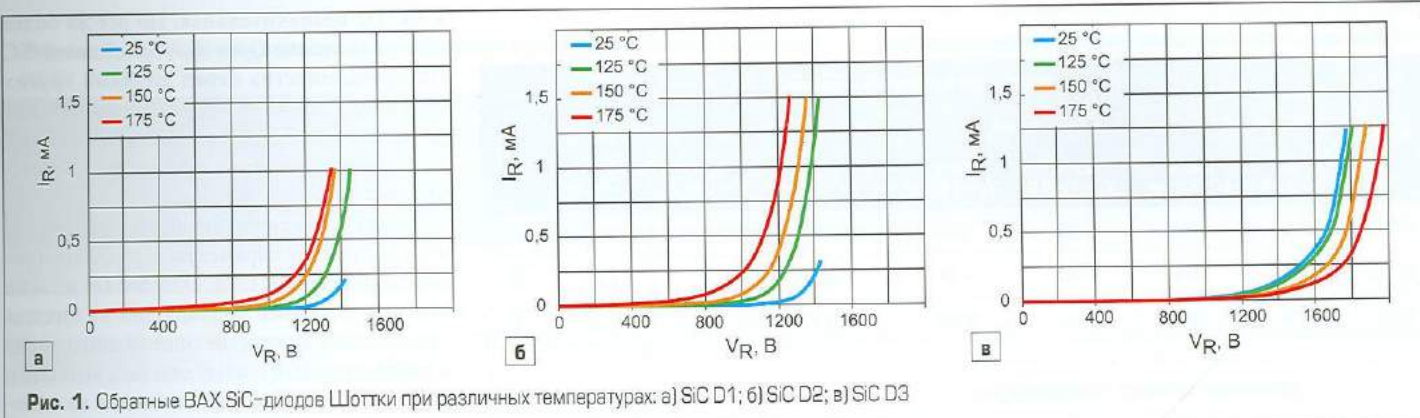


Рис. 1. Обратные BAX SiC-диодов Шоттки при различных температурах: а) SiC D1; б) SiC D2; в) SiC D3

в гибридных модулях позволяет кардинально разрешить все сложные проблемы.

ОАО «Электровыпрямитель» изготавливает силовые гибридные IGBT-модули для различного применения в двух широко распространенных корпусах размерами 34×94 и 62×106 мм. В процессе производства используются чипы SiC-диодов Шоттки нескольких известных производителей. Главный критерий при выборе SiC-диодов для комплектации гибридных IGBT-модулей — достижение оптимального соотношения между совокупностью частотных свойств IGBT и SiC-диода и режимами эксплуатации оборудования заказчика.

Ниже приведены результаты исследований параметров и характеристик трех типов SiC-диодов Шоттки на напряжение 1200 В, условно обозначенных как SiC D1, SiC D2, SiC D3, которые выпущены различными производителями.

Статические параметры

Для измерения статических и динамических характеристик исследуемые SiC-диоды собирали в гибридные модули по схеме полумоста и чоппера в корпусе 34×94 мм (MI3). Измерения статических параметров SiC-диодов были проведены на измерителе характеристик полупроводниковых приборов ПКТУ-1 собственного производства и на ком-

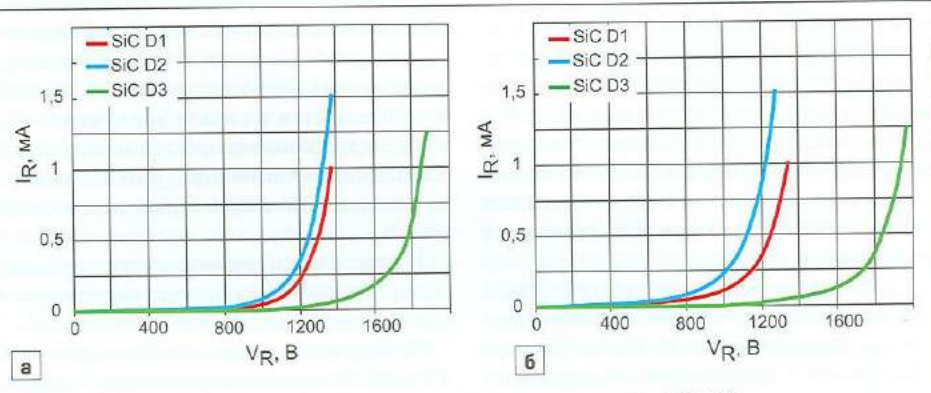


Рис. 2. Обратные BAX SiC-диодов Шоттки при температурах: а) 150 °C; б) 175 °C

плексе фирмы LEM для измерения статических параметров.

На рис. 1 изображены обратные BAX SiC D1, SiC D2, SiC D3 при температурах 25, 125, 150 и 175 °C. Видно, что обратное напряжение V_R при температуре 25 °C у диодов SiC D1 и SiC D2 примерно одинаковое, оно находится в диапазоне 1395–1420 В, а у SiC D3 обратное напряжение составляет 1470 В, что на 5% выше. Обратное напряжение у диодов SiC D1 и SiC D2 с ростом температуры структуры уменьшается, а у SiC D3 — увеличивается.

На рис. 2 представлены обратные вольт-амперные характеристики SiC D1, SiC D2, SiC D3 при температурах 150 и 175 °C.

На рис. 2 видно, что SiC D3 имеет ярко выраженный положительный температурный коэффициент напряжения пробоя,

тогда как у SiC D1 и SiC D2 он отрицательный. Значения $\Delta V_{BR}/\Delta T_f$ для диодов SiC D1, SiC D2 и SiC D3 равны $-0,39$; $-0,6$ и $+2,92$ В/°C соответственно.

На рис. 3 представлены прямые вольт-амперные характеристики SiC-диодов при $T_f = 25, 125, 150, 175$ °C.

Из рис. 3 следует, что инверсия (изменение знака температурной зависимости V_F с отрицательного на положительный) у диодов SiC D1 и SiC D2 происходит при прямом токе 10 А, а у SiC D3 — при 8 А при номинальном токе диода 50 А. Следовательно, для параллельного соединения в многокристальных модулях допустимо использовать диоды всех трех изготовителей. В таблице 1 приведены усредненные значения статических параметров диодов всех трех типов.

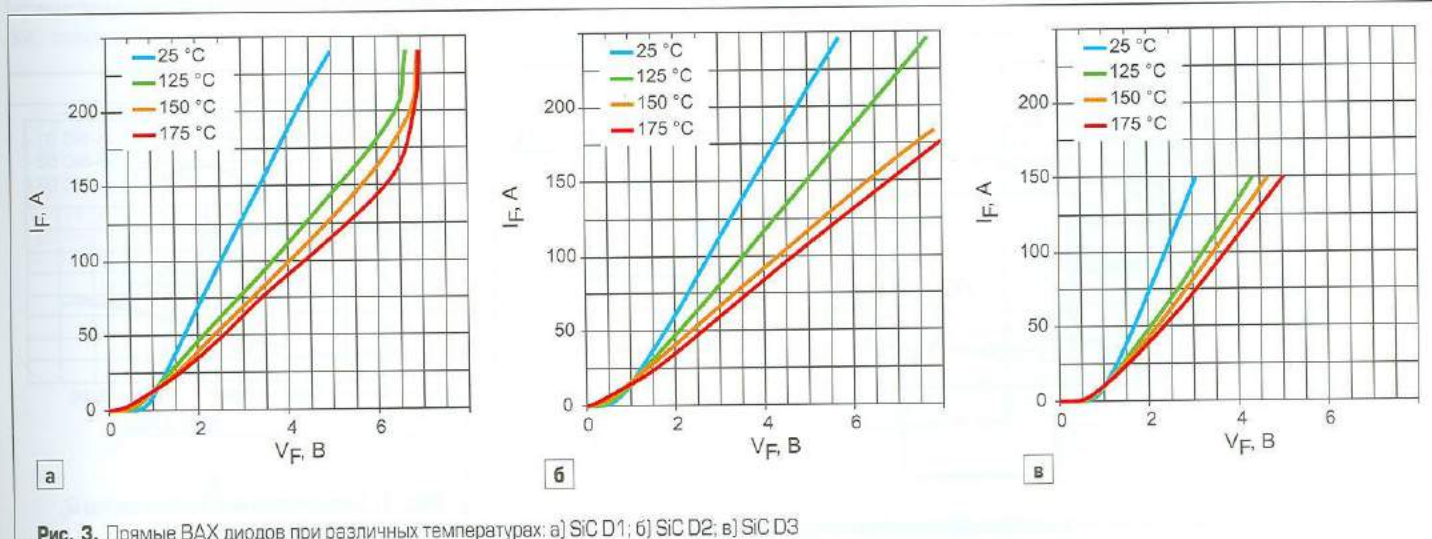


Рис. 3. Прямые BAX диодов при различных температурах: а) SiC D1; б) SiC D2; в) SiC D3

Таблица 1. Результаты измерений статических параметров

Диод	Параметры и режимы измерений							
	V_{BR} , В		I_R , мА		$\Delta V_{BR}/\Delta T_J$, В/°C	V_F , В		I_{RM} , А
	25 °C, $I_R = 0,2$ мА	150 °C, $I_R = 1,0$ мА	25 °C, $V_R = 1200$ В	150 °C, $V_R = 1200$ В	$\Delta T_J = 125$ °C	25 °C, $I_R = 50$ А	150 °C, $I_R = 50$ А	
SiC D1	1410	1362	0,03	0,24	-0,39	1,7	2,33	10
SiC D2	1395	1319	0,05	0,39	-0,6	1,7	2,40	10
SiC D3	1470	1835	0,03	0,025	+2,92	1,6	2,15	8

Динамические параметры

Как было отмечено выше, скорости изменения тока при включении и выключении IGBT и параметры обратного восстановления FWD являются важнейшими факторами, влияющими на выбор диода обратного тока. Его динамические характеристики, очень сильно связанные с процессом включения IGBT, определяют коммутационные потери при включении транзистора.

Скорость включения и энергия потерь при включении E_{on} IGBT определяются значением сопротивления R_G в цепи затвора транзистора. Следовательно, этим резистором регулируются и скорость изменения тока di_F/dt , и характеристики обратного восстановления оппозитного SiC-диода.

Исследования динамических параметров диодов проведены стандартным методом с помощью полумостовой испытательной схемы, изображенной на рис. 4.

На рис. 5–7 представлены зависимости динамических параметров диодов SiC D1, SiC D2 и SiC D3 от скорости спада тока di_F/dt при обратном восстановлении. Был применен следующий режим измерений: $V_{CC} = 600$ В, $I_C = 50$ А, $T_j = 125$ °C.

На рис. 5 показаны зависимости максимального тока обратного восстановления диодов SiC D1, SiC D2 и SiC D3 от скорости спада тока di_F/dt .

Из графиков на рис. 5 следует, что у всех диодов с ростом di_F/dt растет I_{RM} . У диода SiC D3 самые высокие значения токов обратного восстановления, а также сильная зависимость I_{RM} от di_F/dt . У диодов SiC D1 и SiC D2 токи I_{RM} меньше, чем у SiC D3, в 2 раза (при 1500 А/мкс) и наблюдается плавное увеличение I_{RM} во всем диапазоне скоростей коммутации. Самые низкие значения I_{RM} во всем исследуемом диапазоне di_F/dt у оппозитного диода SiC D1.

На рис. 6 представлены зависимости времени переключения оппозитных диодов t_c от скорости коммутации di_F/dt .

Прежде всего, следует отметить, что у SiC D1 и SiC D2 время переключения t_c практически не зависит от di_F/dt . У SiC D3 t_c заметно уменьшается с ростом di_F/dt . Самые низкие времена переключения $t_c = 19$ нс — у диодов SiC D2, самые высокие $t_c = 55$ нс — у диодов SiC D3.

На рис. 7 приведены зависимости емкостного заряда Q_c диодов SiC D1, SiC D2 и SiC D3 от скорости изменения тока di_F/dt .

У диода SiC D3 наблюдается сильная зависимость Q_c от di_F/dt . Следует отметить, что у диодов SiC D1 и SiC D2 емкостной заряд Q_c с ростом di_F/dt увеличивается незначительно, т. е. практически не зависит от скорости изменения тока диодов. У диода SiC D3 величина Q_c при $di_F/dt = 1250$ А/мкс почти в 4 раза больше, чем у диодов SiC D1 и SiC D2. Разница в значениях Q_c у диодов SiC D1

и SiC D2 незначительна. Но все же более низкое значение Q_c от di_F/dt дает диоду SiC D2 преимущества перед диодами других типов при работе прибора на высоких скоростях коммутации, что обеспечивает IGBT более низкие динамические потери на повышенных частотах.

Чтобы объективно сравнить статические и динамические параметры карбидокремниевых диодов SiC D1, SiC D2 и SiC D3, а также выбрать наиболее подходящий из них для применения в качестве оппозитного диода в гибридных IGBT-модулях, был выполнен формализованный расчет баллов на основе полученных результатов для каждого из измеренных параметров. Лучший диод по каждому из параметров был обозначен «+++», средний — «++», а худший — «+».

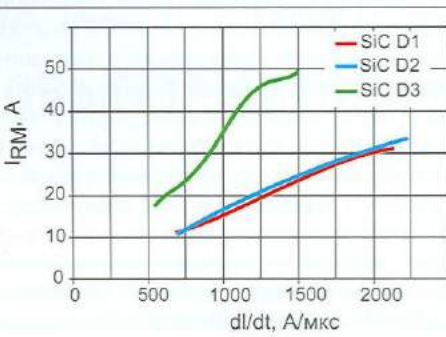


Рис. 5. Зависимость максимального тока обратного восстановления I_{RM} в оппозитных диодах от скорости коммутации di_F/dt

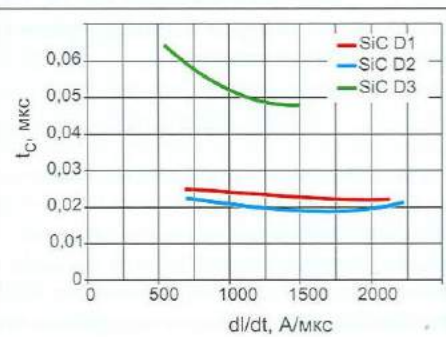


Рис. 6. Зависимость времени переключения оппозитных диодов t_c от скорости коммутации di_F/dt

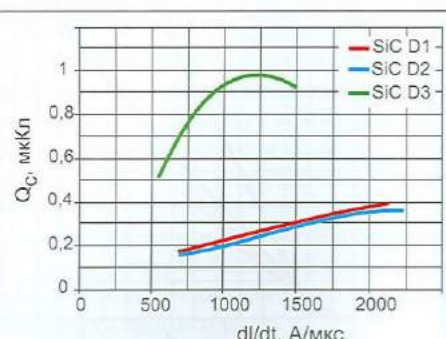


Рис. 7. Зависимость емкостного заряда Q_c от скорости коммутации di_F/dt

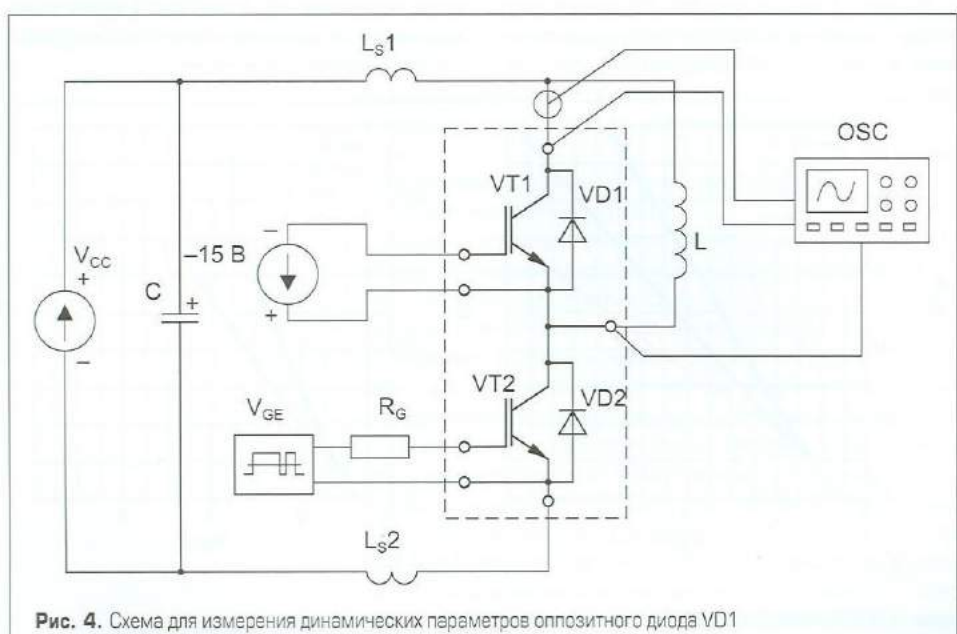


Рис. 4. Схема для измерения динамических параметров оппозитного диода VD1

Таблица 2. Оценка результатов измерений статических и динамических параметров диодов SiC D1, SiC D2 и SiC D3

Тип диода	Оценка параметра							
	Статика			Динамика			Сумма Σ	
	V_F	$I_{F\text{av}}$	$\Delta V_{BR}/\Delta T_I$	I_{RM}	t_c	Q_c	Статические + динамические	Динамические
SiC D1	++	++	+++	+++	++	+++	15	8
SiC D2	+	++	+++	++	+++	+++	14	8
SiC D3	+++	+++	+	+	+	+	10	3

Итоговая оценка результатов измерений по трехбалльной шкале представлена в таблице 2.

Приведенная в таблице 2 оценка результатов исследований трех типов карбидокремниевых диодов Шоттки показала, что лучшим по суммарному показателю «статика + динамика» является диод SiC D1. Ему немного уступает (из-за статики) диод SiC D2. По динамическим параметрам диоды SiC D1 и SiC D2 равны. Диод SiC D3 — аутсайдер по всем динамическим параметрам, однако лидер по статике.

Осцилляции при высоких скоростях переключения

Важным моментом при эксплуатации IGBT-модулей является исключение высокочастотных осцилляций при коммутации. Осцилляции в IGBT-модулях [3] связаны как со свойствами структур FRD и IGBT, так и с паразитной индуктивностью схемы применения и самого IGBT-модуля. Осцилляций можно избежать, если применять FRD с мягким обратным восстановлением. Возможны и другие контрмеры против осцилляций при восстановлении FRD, например путем уменьшения паразитной индуктивности и максимальной симметрии расположения кристаллов FRD и IGBT в модуле. В гибридных IGBT-модулях вопрос симметричного расположения кристаллов SiC-диодов встает еще более актуально. Это связано с тем, что в настоящее время на рынке имеются коммерческие SiC-диоды Шоттки только на ток до 50 А,

и потому в гибридных IGBT-модулях с номинальным током в несколько сотен ампер необходимо соединять параллельно достаточно большое количество чипов диодов. Чем больше чипов соединено параллельно, тем сложнее добиться равномерного распределения тока, в первую очередь в динамике. Поэтому применение оппозитных SiC-диодов в гибридных модулях является в настоящее время целесообразным в диапазонах малой и средней мощности для номинальных токов до 500–600 А.

Осцилляции в гибридных модулях появляются не только из-за несимметрии конструкции модуля. Диоды Шоттки не имеют заряда обратного восстановления, который приводит к эффекту «хлопывания» и колебаниям тока в традиционных диодах с $p-n$ -переходом. Но они имеют внутреннюю емкость, которая образует колебательные контуры с паразитными индуктивностями силовых выводов. Быстрая коммутация и приводит к высокочастотным колебаниям в этих контурах.

На рис. 8 представлены осциллограммы тока $i_R(t)$ (голубой цвет) и напряжения $v_R(t)$ (красный цвет) при обратном восстановлении оппозитных SiC-диодов, когда значения сопротивления резистора в цепи затвора IGBT одинаковы.

У всех SiC-диодов наблюдается небольшая осцилляция после завершения процесса обратного восстановления. У диода SiC D3 амплитуда колебаний значительно больше, чем у SiC D1 и SiC D2, что также подтверждает необходимость снижения скорости включения IGBT при совместной работе с SiC D3.

Следует отметить, что величина входного резистора снижена более чем в 5 раз по сравнению с той, что у аналогичного IGBT-модуля, в котором применен диод с $p-n$ -переходом. Тем самым подтверждена возможность эксплуатации гибридных IGBT-модулей с малым R_G , что дополнительно снижает коммутационные потери.

Заключение

Из трех исследованных карбидокремниевых диодов Шоттки, изготовленных различными производителями, диоды SiC D1 и SiC D2 наиболее подходят для работы в качестве оппозитных диодов в гибридных IGBT-модулях. Они имеют низкие статические потери и отличные динамические характеристики: низкие значения I_{RM} , Q_c , t_c и минимальные осцилляции при высоких скоростях спада тока ($di_f/dt \geq 2000 \text{ A}/\mu\text{s}$), что дает возможность эффективно их применять в ключевых схемах не только с частотными IGBT, но и с силовыми MOSFET-транзисторами на частотах коммутации до 100 кГц.

Диоды SiC D3 имеют худшие динамические характеристики, но лучше по статике: низкое значение импульсного прямого напряжения V_F и тока утечки I_R , более высокое обратное напряжение V_R . Поэтому их применение может быть обоснованным в более высоковольтных модулях, но на более низких частотах и скоростях коммутации IGBT, а также в частотных диодных модулях.

Литература

- Volke A., Hornkamp M. IGBT Modules. Technologies, Driver and Application, 2010.
- Мартыненко В. А., Мускатинев В. Г. и др. Исследования диодов с быстрым восстановлением в ключевых схемах IGBT-модулей на напряжение 1200 В // Силовая электроника. 2013. № 5.
- Lutz J., Schlangenotto H., Scheuermann U., De Doncker R. Semiconductor Power Devices. Physics, Characteristics, Reliability. Springer, 2011.

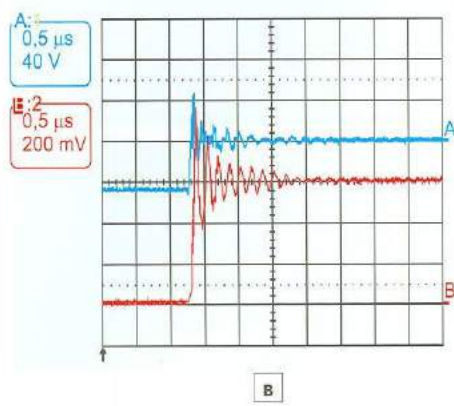
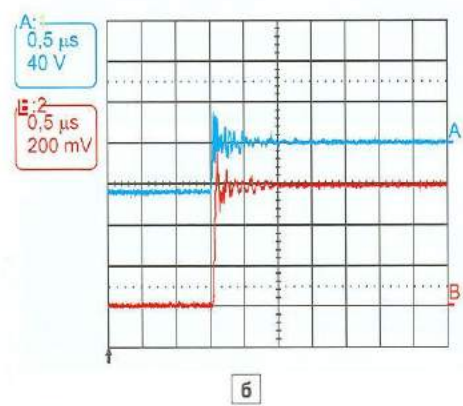
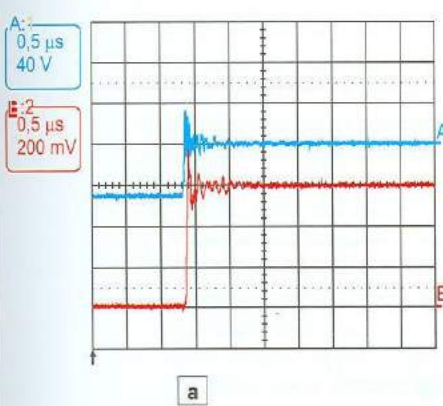


Рис. 8. Обратное восстановление оппозитных диодов SiC D1 [a], SiC D2 [b], SiC D3 [в]. Режим испытаний: $V_{CC} = 600 \text{ В}$, $I_F = 50 \text{ А}$, $R_G = 3 \text{ Ом}$, $T_J = 125^\circ\text{C}$